

# 周报

汇报人： 金宇强

汇报时间：2020.02.05

本周工作	文献阅读情况	<p>[1] J. Zhang and S. Singh, "LOAM: Lidar Odometry and Mapping in Real-time," in Robotics: Science and Systems, 2014, vol. 2, no. 9.</p> <p>[2] P. Geneva, K. Eickenhoff, W. Lee, et al, "Openvins: A research platform for visual-inertial estimation," in 2020 IEEE International Conference on Robotics and Automation (ICRA), 2020: IEEE, pp. 4666-4672.</p> <p>[3] S.-S. Huang, Z.-Y. Ma, T.-J. Mu, et al, "Lidar-Monocular Visual Odometry using Point and Line Features," in 2020 IEEE International Conference on Robotics and Automation (ICRA), 2020: IEEE, pp. 1091-1097.</p> <p>[4] X. Zuo, P. Geneva, W. Lee, Y. Liu, and G. Huang, "LIC-Fusion: LiDAR-Inertial-Camera Odometry," in 2019 IEEE/RSJ International Conference on Intelligent Robots and Systems (IROS), 2019: IEEE, pp. 5848-5854.</p> <p>[5] K. Li, M. Li, and U. D. Hanebeck, "Towards high-performance solid-state-lidar-inertial odometry and mapping," arXiv preprint arXiv:2010.13150, 2020.</p>
	工作进展	<ol style="list-style-type: none"><li>1. 基于文[1]学习 LOAM 框架，并在秦通开源的 A-LOAM 框架上进行改进，先是推导线面特征的雅克比，然后使用解析求导代替自动求导，在保证精度的前提下，提升了算法的运行效率，平均每帧的运算时间缩短了 16%。</li><li>2. 部分文献的整理与阅读，并学习了部分 Li Mingyang 博士的毕业论文（导师：Anastasios Mourikis），有关 MSCKF 的改进框架（VIO）。</li></ol>
下一周工作计划	<ol style="list-style-type: none"><li>1. 继续学习 Li Mingyang 的博士论文，重点关注在线标定与 MSCKF 中存在的问题，写文献总结。</li><li>2. 构建 KITTI 点云地图，学习基于回环的误差修正原理、基于先验观测的误差修正原理、建图流程及代码实现。</li><li>3. 阅读领域内前沿文献。</li></ol>	

# 激光里程计的点云特征匹配算法实现

金字强

**摘要** 点云匹配是利用激光里程计 LO 进行导航、定位与地图构建的基础。本文首先介绍了基本的点与向量的运算，然后定义了点云中的特征——曲率，并说明了基于该特征描述进行位姿估计的方法与步骤。其次介绍了目前的相关开源 LO 算法：LOAM 和 A-LOAM。最后，基于本文中定义的点线特征残差函数与推导的雅克比，使用解析求导代替 A-LOAM 中的自动求导，实现了线面特征匹配算法，并对结果进行了分析，验证了有效性。

**关键词** 激光里程计；点线特征匹配；A-LOAM

## 1 点云线面特征提取

本节首先对点和向量的基础运算（内外积）进行了说明，推导了点线、点面距离的计算公式，并给出了内外积的微分性质，供下文参考。其次，基于 LOAM 提出曲率特征，简要说明了线面特征提取与使用的方法。

### 1.1 线面特征几何基础

内积又称为数量积，是向量的点乘。设有向量  $\mathbf{a} = (x_1, y_1, z_1)$ ,  $\mathbf{b} = (x_2, y_2, z_2)$ ，则  $\mathbf{a}$  和  $\mathbf{b}$  的内积可表示为：

$$\mathbf{a} \cdot \mathbf{b} = x_1x_2 + y_1y_2 + z_1z_2 \quad (1)$$

内积的几何表示为：

$$\mathbf{a} \cdot \mathbf{b} = |\mathbf{a}||\mathbf{b}|\cos\theta \quad (2)$$

其中  $\theta$  为向量  $\mathbf{a}$  和  $\mathbf{b}$  之间的夹角，若  $\mathbf{b}$  为单位向量是，内积就是  $\mathbf{a}$  在  $\mathbf{b}$  上的投影分量，可图 1 (a)。根据内积的微分性质，有：

$$\frac{\partial \mathbf{a} \cdot \mathbf{b}}{\partial \mathbf{a}} = \mathbf{b} \quad (3)$$

这可以由内积的定义出发，分别对  $x_1, y_1, z_1$  分量（3 维情况，可扩展到  $n$  维）求微分得到。

外积又称叉积、向量积，是向量的叉乘，结果是一个向量， $\mathbf{a}$  和  $\mathbf{b}$  的叉乘可表示为：

$$\mathbf{a} \times \mathbf{b} = \begin{bmatrix} i & j & k \\ x_1 & y_1 & z_1 \\ x_2 & y_2 & z_2 \end{bmatrix} = (y_1z_2 - y_2z_1)i - (x_1z_2 - x_2z_1)j + (x_1y_2 - y_1x_2)k \quad (4)$$

其中  $i, j, k$  分别是  $xyz$  轴上的单位向量，上式可以表示为  $\mathbf{a} \times \mathbf{b} = (y_1z_2 - y_2z_1, x_2z_1 - x_1z_2, x_1y_2 - x_2y_1)$ ，外积的几何意义可见图 1 (b)，外积的模长等于

$\mathbf{a}$ 和 $\mathbf{b}$ 组成的平行四边形的面积，表示为：

$$\mathbf{a} \times \mathbf{b} = |\mathbf{a}||\mathbf{b}|\sin\theta \quad (5)$$

外积的方向满足右手定则， $\mathbf{a}$ 和 $\mathbf{b}$ 张成平面的单位法向量 $\mathbf{n}$ 为：

$$\mathbf{n} = \frac{\mathbf{a} \times \mathbf{b}}{|\mathbf{a} \times \mathbf{b}|} \quad (6)$$

根据外积的定义，有：

$$\begin{aligned} \mathbf{a} \times \mathbf{b} &= [\mathbf{a}]^\wedge \mathbf{b} \\ [\mathbf{a}]^\wedge &= \begin{bmatrix} 0 & -z_1 & y_1 \\ z_1 & 0 & -x_1 \\ -y_1 & x_1 & 0 \end{bmatrix} \end{aligned} \quad (7)$$

其中 $[\mathbf{a}]^\wedge$ 为 $\mathbf{a}$ 的反对称矩阵。容易有：

$$\begin{aligned} [\mathbf{a}]^\wedge \mathbf{b} &= -[\mathbf{b}]^\wedge \mathbf{a} \\ \frac{\partial [\mathbf{a}]^\wedge \mathbf{b}}{\partial \mathbf{a}} &= -\frac{[\mathbf{b}]^\wedge \partial \mathbf{a}}{\partial \mathbf{a}} = -[\mathbf{b}]^\wedge \end{aligned} \quad (8)$$

基于内积和外积的定义，可以进一步引出线面特征的运算，如图 1 (c) (d) 所示，基于式 (5)，点 $A$ 到直线 $CB$ 的距离 $|\overrightarrow{AD}|$ 可以表示为

$$|\overrightarrow{AD}| = \frac{|\overrightarrow{CA} \times \overrightarrow{CB}|}{|\overrightarrow{CB}|} \quad (9)$$

这样避免了求夹角 $\theta$ 。要求点 $A$ 到平面 $BCD$ 的距离，也就是求 $|\overrightarrow{AE}|$ ，可以先使用式 (6) 计算平面 $BCD$ 的单位法向量 $\mathbf{n}$ ：

$$\mathbf{n} = \frac{\overrightarrow{BC} \times \overrightarrow{BD}}{|\overrightarrow{BC} \times \overrightarrow{BD}|} \quad (10)$$

然后再根据内积的定义式 (2) 求：

$$|\overrightarrow{AE}| = |\overrightarrow{AB}| \cdot \mathbf{n} \quad (11)$$

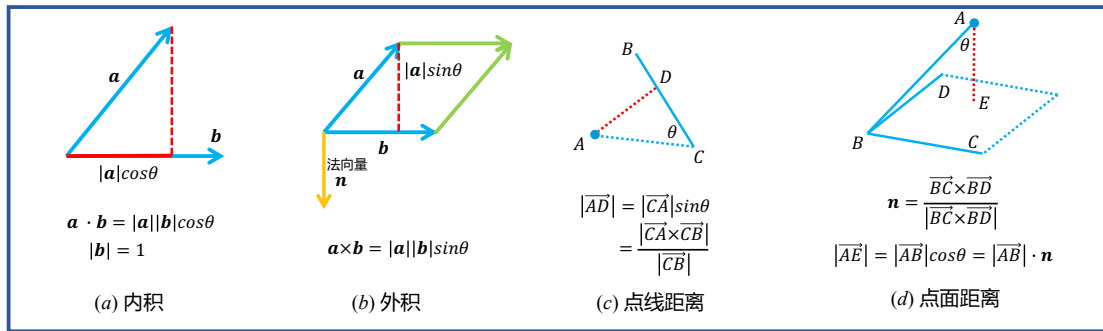


图 1 线面特征的基本运算

## 1.2 线面特征的提取

本文涉及的线面特征方法基于 LOAM[1]提出的曲率特征。LOAM 作为激光 SLAM 的经典方法，至今仍在 KITTI 状态估计和建图排行榜上位列榜首，其也衍生出许多优秀的开源升级版如秦通设计的简化版本 A-LOAM[3]和南洋理工王晗设计的 F-LOAM[4]，具体可见第三节。本小结分三步，基于源码注释从实现上说

明了 LOAM 提取线面特征的步骤。

### Step1: 点云数据的预处理（按线数分割）

本步针对的是点云中的点排列是杂乱无章的情况，即点云数据中不包含线数的信息，如 KITTI 原始数据。为了后续有效地提取特征，需要将点云按线数分割并排列。具体做法是，根据激光点的坐标 $(x, y, z)$ ，计算该束激光相对于雷达水平面的倾角 $\omega = \arctan \frac{z}{\sqrt{x^2+y^2}}$ ，然后基于 $\omega$ 和雷达内参（各扫描线的设计倾角），将各激光束的点进行分类和排序。

### Step2: 计算特征值

LOAM 特征的计算方式为：

$$c = \frac{1}{\|X\|} \left\| \sum_i (X - X_i) \right\| \quad (12)$$

其中 $X$ 是点云中任意点的坐标， $c$ 是它对应的特征值， $X_i$ 是 $X$ 所处激光束上相邻的点。即 $c$ 表示的是单线上的点与相邻点之间的关系，直观上可以将其理解为 $X$ 点的曲率，如图 2，其中黑点表示点云中的点，红线表示该点上计算曲率的大小。可见，点的排列越平直则 $c$ 越小，反之越弯曲则值就 $c$ 越大，直线上的点 $c$ 为 0。

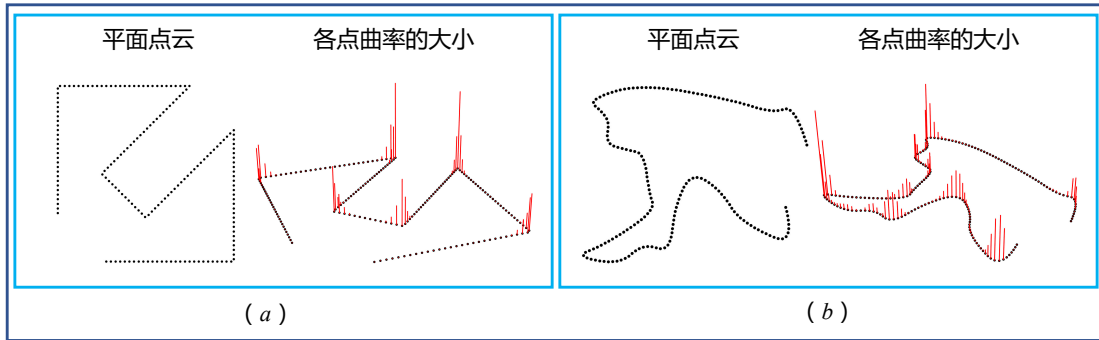


图 2 曲率特征示意图

### Step3: 按特征值大小筛选特征点

基于每个点的特征值（曲率）大小，可以划分线特征和面特征，LOAM 中将点分为角点（最大曲率），即线特征点，和平面点（最小曲率），即面特征点。在 LOAM 源码中，设定了阈值，将其分为四类：(a) 曲率特别大的点(sharp)；(b)曲率交大的点(less\_sharp)；(c)曲率特别小的点(flat)；(d)曲率小的点(less\_flat)，映射到线面特征可以看做：(a)sharp 为“点到直线”中的“点”；(b)sharp 和 less\_sharp 为“点到直线”中的直线；(c)flat 为“点到平面”中的点；(d)flat 和 less\_flat 为“点到平面”中的“平面”。

## 2 基于线面特征的位姿优化

在从点云中得到线面特征后，与视觉的特征匹配一样，基于帧间之间对应的线面特征变化，进行雷达位姿估计。假设 LO 的运动模型是已知，那么基于运动

模型可以获得一个相对准确的初始位姿估计，若第 $k + 1$ 帧与第 $k$ 帧的相对位姿为：

$$T = \begin{bmatrix} R & t \\ 0 & 1 \end{bmatrix}$$

然后将第 $k + 1$ 帧中的点 $p_i$ 转换到第 $k$ 帧坐标系中，完成点云的位姿转换，可表示为：

$$\tilde{p}_i = R p_i + t$$

当 $p_i$ 为角点（线特征点）时，在上一帧中搜索距离 $\tilde{p}_i$ 最近的角点，并在相邻线上再找一个角点，组成直线。如果估计的位姿是准确的，可以知道 $\tilde{p}_i$ 也在这条直线上，即和这条直线的距离为 0。这个过程称为线特征关联，可见图 3（a）。

当 $p_i$ 为平面点（面特征点）时，在上一帧中搜索距离 $\tilde{p}_i$ 最近的面特征点，并在相邻线上找两个面特征点，组成平面。同样地，若位姿准确， $\tilde{p}_i$ 也在这个平面上。这个过程称为面特征关联，可见图 3（b）。

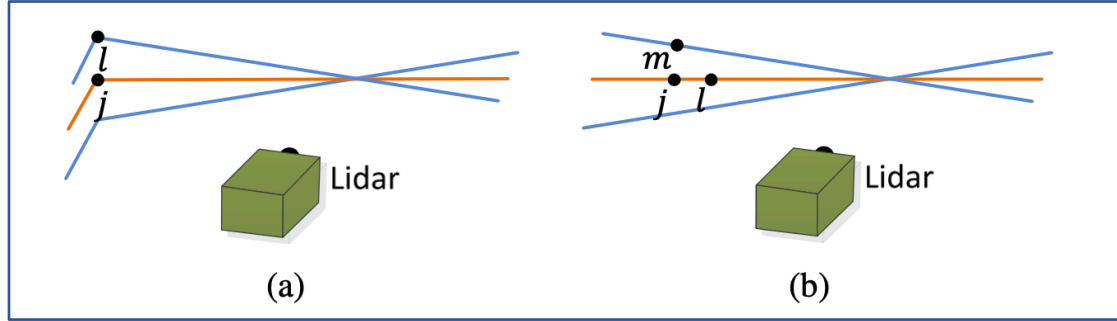


图 3 线面特征关联示意图[1]

以图 3 为例，基于第一节中介绍的点线距离（式（9）），线面距离（式（10）（11）），可以定义残差函数。对于线特征，有线残差函数 $d_\varepsilon$ ：

$$d_\varepsilon = \frac{|(\tilde{p}_i - p_j) \times (\tilde{p}_i - p_l)|}{|p_l - p_j|} \quad (13)$$

也可以表示成矢量形式（在源码中为矢量形式，在最后计算时用 $d_\varepsilon^T d_\varepsilon$ 获得残差，可能是为了方便计算雅克比？）：

$$d_\varepsilon = \frac{(\tilde{p}_i - p_j) \times (\tilde{p}_i - p_l)}{|p_l - p_j|} \quad (14)$$

对于面特征，有面残差函数 $d_{\mathcal{H}}$ ：

$$d_{\mathcal{H}} = \left| (\tilde{p}_i - p_j) \cdot \frac{(p_l - p_j) \times (p_m - p_j)}{|(p_l - p_j) \times (p_m - p_j)|} \right| \quad (15)$$

然后，使用高斯牛顿等优化算法，就可以对残差函数进行优化，其中，关键步骤是计算残差函数的雅克比。对于线残差函数 $d_\varepsilon$ ，基于链式法则有：

$$J_\varepsilon = \frac{\partial d_\varepsilon}{\partial T} = \frac{\partial d_\varepsilon}{\partial \tilde{p}_i} \frac{\partial \tilde{p}_i}{\partial T} \quad (16)$$

对于等式中的第一项，将式（14）代入，可得：

$$\begin{aligned}
\frac{\partial d_\varepsilon}{\partial \tilde{p}_i} &= \frac{1}{|p_l - p_j|} \frac{\partial \left( (\tilde{p}_i - p_j) \times (\tilde{p}_i - p_l) \right)}{\partial \tilde{p}_i} \\
&= \frac{1}{|p_l - p_j|} \frac{\partial \left( [\tilde{p}_i - p_j]^\wedge (\tilde{p}_i - p_l) \right)}{\partial \tilde{p}_i} \\
&= \frac{1}{|p_l - p_j|} \left( \frac{\partial [\tilde{p}_i - p_j]^\wedge (\tilde{p}_i - p_l)}{\partial \tilde{p}_i} + \frac{[\tilde{p}_i - p_j]^\wedge \partial (\tilde{p}_i - p_l)}{\partial \tilde{p}_i} \right) \\
&= \frac{1}{|p_l - p_j|} \left( -[\tilde{p}_i - p_l]^\wedge + [\tilde{p}_i - p_j]^\wedge \right) \\
&= \frac{[p_l - p_j]^\wedge}{|p_l - p_j|} \tag{17}
\end{aligned}$$

其中第二个等号基于外积的定义式 (7)，第三个等号基于顺序求导法则，第三个等号中的第一项基于反对称矩阵的性质式 (8)，第二项是直接求导的结果。

对于式 (16) 中的第二项，是常用的雅克比结果，基于 [2] 中给出的结果，有：

$$\begin{aligned}
\frac{\partial \tilde{p}_i}{\partial t} &= I \\
\frac{\partial \tilde{p}_i}{\partial R} &= -[R\tilde{p}_i + t]^\wedge \\
\frac{\partial \tilde{p}_i}{\partial T} &= [I \quad -[R\tilde{p}_i + t]^\wedge]
\end{aligned} \tag{18}$$

其中上式是对平移的雅克比，下式是对旋转的雅克比。

同样地，对于面残差函数  $d_{\mathcal{H}}$ ，有链式法则：

$$J_{\mathcal{H}} = \frac{\partial d_{\mathcal{H}}}{\partial T} = \frac{\partial d_{\mathcal{H}}}{\partial \tilde{p}_i} \frac{\partial \tilde{p}_i}{\partial T} \tag{19}$$

其中等式第二项与式 (18) 一致。对等式第一项，有：

$$\begin{aligned}
\frac{\partial d_{\mathcal{H}}}{\partial \tilde{p}_i} &= \frac{\partial |X|}{\partial \tilde{p}_i} = \frac{\partial |X|}{\partial X} \frac{\partial X}{\partial \tilde{p}_i} = \frac{X}{|X|} \frac{\partial X}{\partial \tilde{p}_i} \\
&= \frac{X}{|X|} \frac{(p_l - p_j) \times (p_m - p_j)}{|(p_l - p_j) \times (p_m - p_j)|} = \frac{X}{|X|} \cdot \mathbf{n}
\end{aligned} \tag{20}$$

其中  $X = (\tilde{p}_i - p_j) \cdot \frac{(p_l - p_j) \times (p_m - p_j)}{|(p_l - p_j) \times (p_m - p_j)|}$ ， $\frac{\partial X}{\partial \tilde{p}_i}$  在物理意义上即代表平面的单位法向量  $\mathbf{n}$ 。

### 3 相关开源里程计

#### 3.1 LOAM

LOAM [1] 是 Zhang 于 2014 年提出的使用激光雷达完成定位与三维建图的算法，即 Lidar Odometry and Mapping，此后许多有诸多激光定位算法都借鉴了 LOAM 中的一些思想。在 LOAM 中主要包含两个模块，一个是 Lidar Odometry，即使用激光雷达做里程计计算两次扫描之间的位姿变换；另一个是 Lidar Mapping，利用多次扫描的结果构建地图，细化位姿轨迹。由于 Mapping 部分计算量较大

（涉及到多帧点云），所以计算频率较低（1Hz），由 Mapping 校准细化 Odometry 过程中计算出来的轨迹，具体流程图可见图 4。

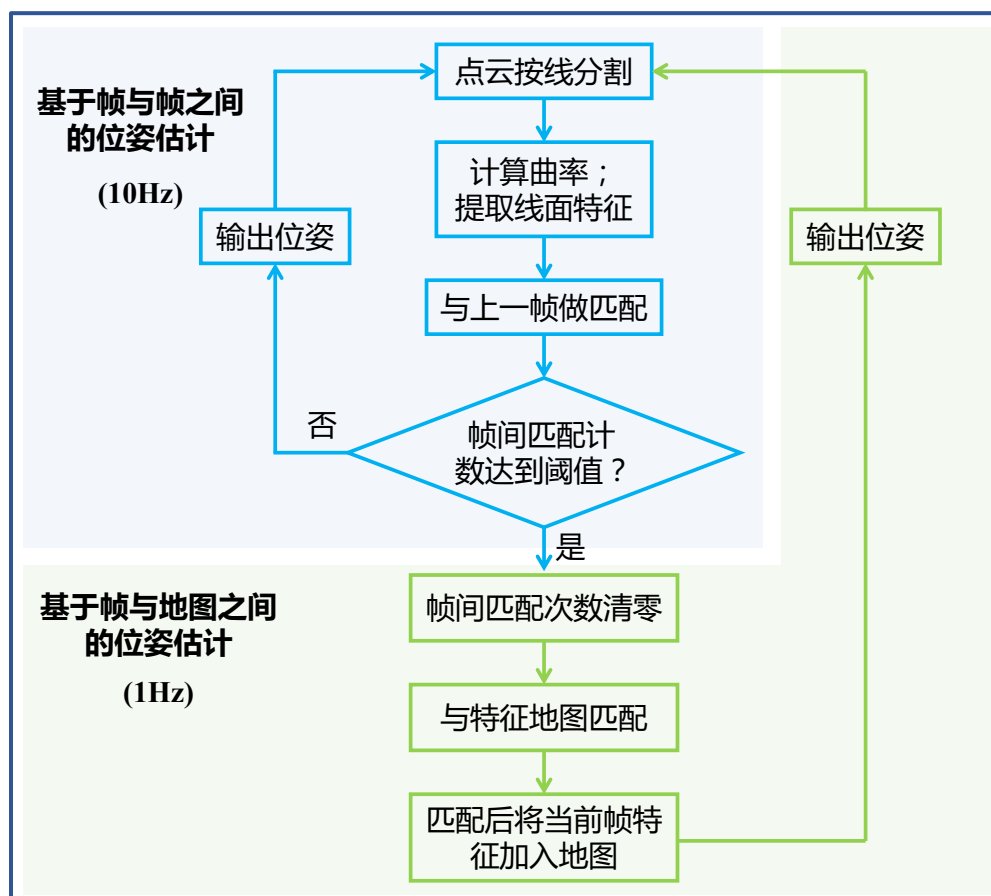


图 4 LOAM 流程图

### 3.2 A-LOAM

LOAM 作为 2014 年提出的激光 SLAM 框架，目前仍具有较强的竞争力，很有学习价值，但是 LOAM 源码的可读性和扩展性较差，因此，秦通在 LOAM 的基础上做了简化并开源了 Advanced-LOAM (A-LOAM) [3]。具体地，A-LOAM 去掉了和 IMU 相关的部分，使用 Eigen（四元数）而非旋转矩阵来做位姿转换，重构了 LOAM 代码，并且基于谷歌的开源优化库 ceres 做迭代优化，进一步加强了代码的可读性，升级了框架。A-LOAM 运行时的节点图如下。

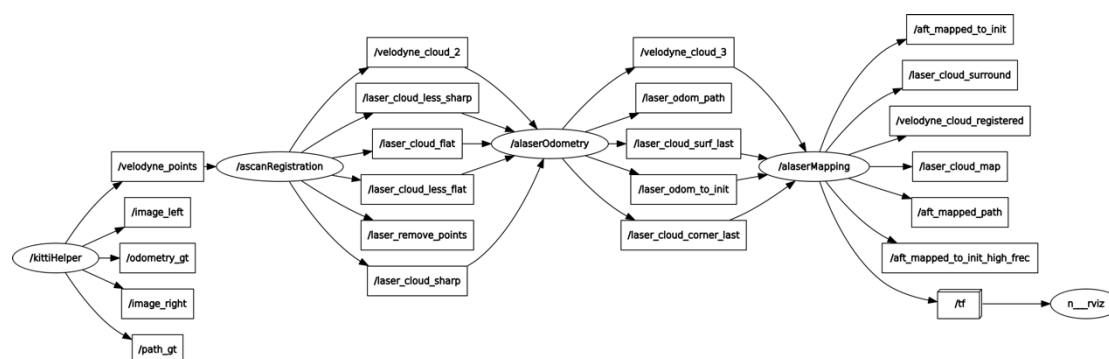


图 5 A-LOAM 运行节点图 (rqt\_graph)

## 4 基于 KITTI 的具体代码实现

A-LOAM 在一定程度上改进了 LOAM，但是其优化求梯度的方式基于 `ceres` 的自动求导方法，这一定程度上降低了运行效率，而在本文第二节中，已经推导了线面特征残差函数的雅克比，完全可以用解析求导来代替 `ceres` 自动求导获得更好的结果。基于该思路，本节中对 A-LOAM 源码进行了修改，称为 A-LOAM v2，并在 KITTI 数据集上进行了验证。

在 KITTI\_2011\_10\_03\_drive\_0027\_synced 上同时运行 PCL 库的 NDT 直接匹配算法、A-LOAM 线面特征匹配算法与基于雅克比解析式的 A-LOAM（称为 A-LOAM v2），最终的运行结果如图 6 所示

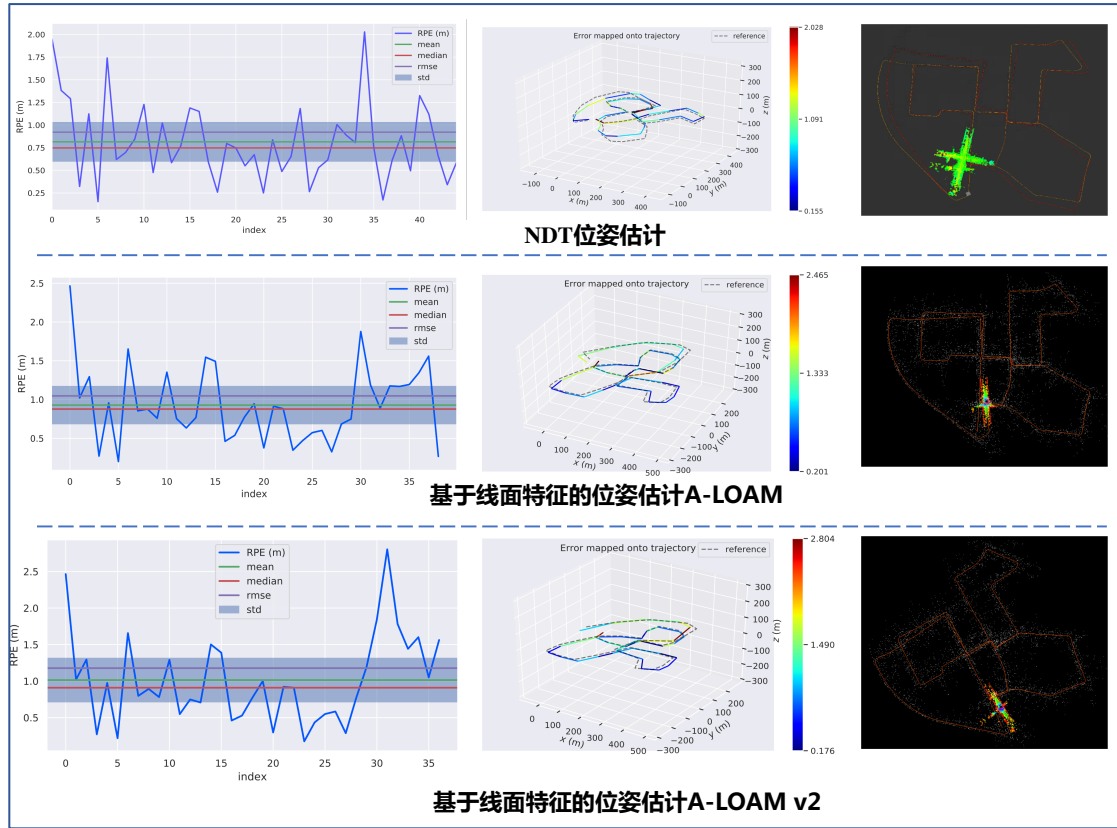


图 6 直接法（NDT）与特征法（A-LOAM /v2）的结果对比

可见三者相对位姿误差  $RPE$  和整体均方根误差  $RMSE$  上的结果均相近 ( $1.0 \pm 0.25$ ), 但是在对每帧点云的处理时间上, 基于特征的方法具有非常大的优势, 如图 7 所示, 基于 A-LOAM 匹配方法的平均运算时间较 NDT 直接匹配方法缩短了 57%, 而本文指出的基于解析式求导的匹配方法在此基础上再次减少了 16%, 平均每帧的运算时间为 25ms。注意, 图中 NDT 每帧运算的最小值为 0, 具体原因暂时未知。



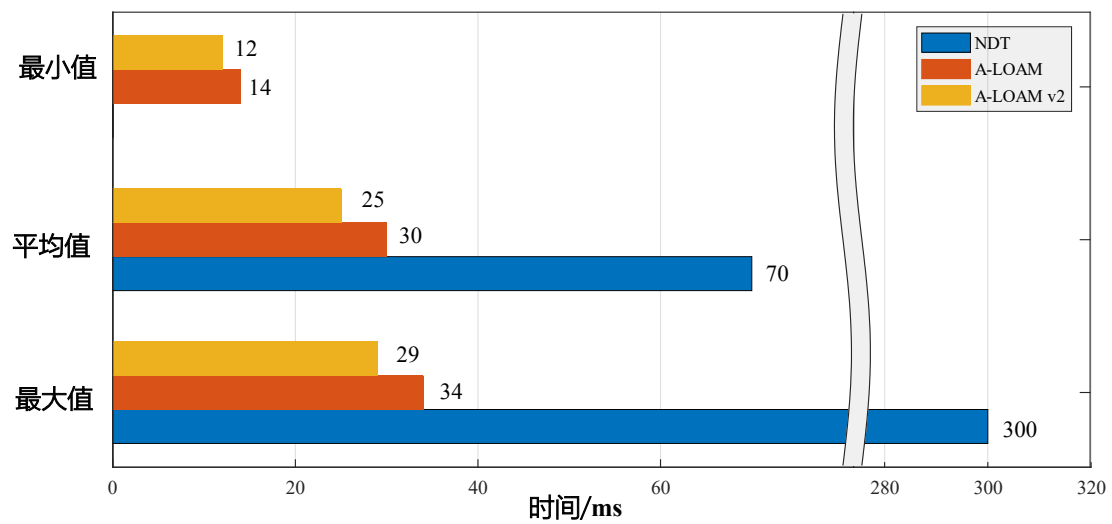


图 7 直接法（NDT）与特征法（A-LOAM /v2）的运算耗时结果

### 参考文献

- [1] J. Zhang and S. Singh, "LOAM: Lidar Odometry and Mapping in Real-time," in *Robotics: Science and Systems*, 2014, vol. 2, no. 9.
- [2] 高翔, 张涛, 刘毅, 颜沁睿. 视觉 SLAM 十四讲: 从理论到实践. 北京: 电子工业出版社, 2019. 第六章
- [3] <https://github.com/HKUST-Aerial-Robotics/A-LOAM>
- [4] <https://github.com/wh200720041/floam>

## 文献阅读 1

Some interesting facts about Paper:

### **OpenVINS: A Research Platform for Visual-Inertial Estimation**

of ICRA2020:

一个开源的 VIO 开发平台 (ROS 上), 具有详细的开发和使用文档, 集成了一些现有的 VIO 融合算法, 以后可用于实验。有点类似于 window 上的 matlab\_VIO 工具箱。

1. The key functionality of the different components in OpenVINS

#### **Ovcore:**

Contains 2D image sparse visual feature tracking;

linear and Gauss-Newton feature triangulation methods;

visual-inertial simulator for arbitrary number of cameras and frequencies;

fundamental manifold math operations and utilities.

#### **Oveval:**

Contains trajectory alignment;

plotting utilities for trajectory accuracy and consistency evaluation;

Monte-Carlo evaluation of different accuracy metrics;

utility for recording ROS topics to file.

#### **Ovmsckf:**

Contains the extendable modular Extended Kalman Filter(EKF)-based sliding window visual-inertial estimator with on-manifold type system for flexible state representation. Features include: First-Estimates Jacobians(FEJ), IMU-camera timeoffset calibration, camera intrinsics and extrinsiconline calibration, standard MSCKF, and 3DSLAM landmarks of different representations

2. Including some open source classic VIO algorithms:

OKVIS; VINS-Fusion VIO; Basalt VIO ; R-VIO; ROVIO; ICE-BA; S-MSCKF

## 文献阅读 2

Some interesting facts about Paper:

### **Lidar-Monocular Visual Odometry using Point and**

### **Line Features**

of ICRA2020:

一种基于点和线特征的激光雷达-单目视觉里程计方法。与以往的基于点的激光雷达视觉里程计相比, 该方法通过将点和线特征引入位姿估计中, 从而利用了更多的环境结构信息。其次, 提供了一种鲁棒的点线深度提取方法, 并将提取的深

度信息作为点线 BA 的先验因子。该方法降低了特征的三维模糊度，提高了姿态估计的精度。

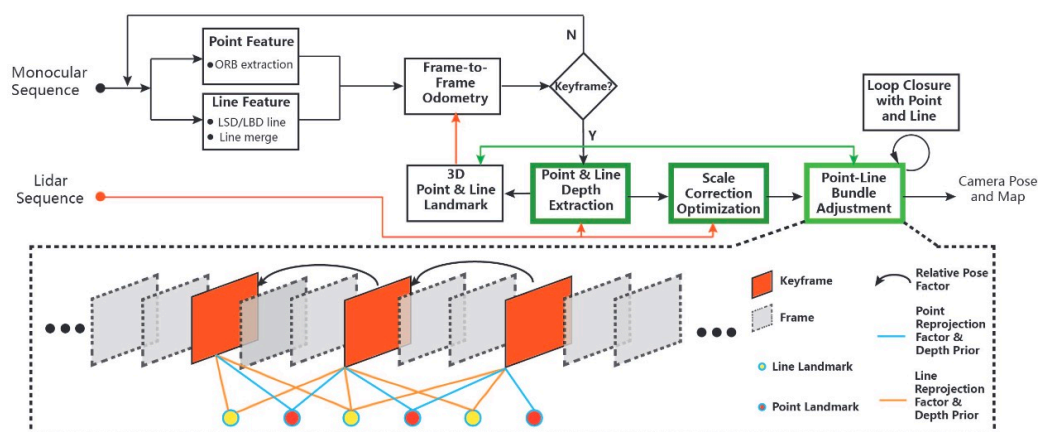
### 1. Why do this?

- ① The accuracy of those point-only systems is still not very satisfactory and some of them like LIMO require extra semantic information as input, which is computationally expensive to obtain.
- ② Line features might richly exist in various scene environments (especially in urban environments), but it is nontrivial to directly adopt line features for the lidar-visual odometry

### 2. How to do it?

- ① This system **fuses the point and line features as landmarks** during camera tracking and formulates the point-based and line-based landmarks' reprojection errors as factors for bundle adjustment in the back end.
- ② During sensor fusion, a robust method to extract the depth of the points and lines from the lidar data is provided, and use the depth prior to guide camera tracking.
- ③ The depth prior is also formulated as prior factors in the point-line bundle adjustment to further improve the pose estimation accuracy.

### 3. Pipeline of ClusterVO



重点关注绿色框

- ① Given the input monocular image sequence and lidar sequence, the point and line features for each image is extracted.
- ② Then, tracking image frames using frame-to-frame odometry with **scale corrected by scale correction optimization.**
- ③ For each keyframe, the **depth priors** for point and line landmarks **are extracted** and **fed to** the point-line bundle adjustment. (Loop closure with the point and line features is used for further pose estimation correction.)

#### 4. Experiments and results

Dateset:KITTI; NuScenes (it is a public large-scale dataset of urban enviroment with plenty of structuralline features.)

#### 5. Some problems

① : What about lidar? Where is the radar used????

## 文献阅读 3

Some interesting facts about Paper:

### LIC-Fusion: LiDAR-Inertial-Camera Odometry.

of IROS2019:

浙大刘勇团队的文章，2.0 版本发表在 IROS2020，少有的鲁棒多传感器融合方案，可以学习。

本文主要借鉴了 LOAM 和 MSCFK，提出了一种紧耦合多传感器融合算法，对剧烈运动和低光照等挑战环境更加鲁棒。

#### 1. Why do this?

- ① cameras are limited by lighting conditions and **cannot provide high-quality information in low-light or night time conditions**. But 3D LiDAR sensors can provide more robust and accurate range measurements regardless of lighting condition.
- ② 3D LiDARs suffer from **point cloud sparsity**, high cost, and lower collection rates as compared to cameras.
- ③ IMUs measure local angular velocity and linear acceleration and can provide large amount of information in dynamic trajectories but **exhibit large drift due to noises if not fused with other information**.

#### 2. How to do it?

- ① A tightly-coupled LIC odometry (termed LIC-Fusion) is developed, which enables efficient 6DOF pose estimation with **online** spatial and temporal **calibration**.
- ② LIC-Fusion can efficiently combine IMU measurements, sparse visual features, and two different sparse LiDAR features **within the MSCKF framework**.
- ③ The dependence of the calibrated extrinsic parameters and estimated poses on measurements is explicitly modeled and analytically derived.

#### 3. 主要做法就是，借鉴 LOAM，在 MSCKF 中加入了基于点线/点面距离的激光

测量模型。本文提出的是纯里程计做法，不包括建图和回环检测。

#### 4. Experiments and results

##### ① Outdoor Tests

Comparative Test: LIC-Fusion, MSCKF, and LOAM.

##### ② Indoor Tests

Indoordatasets are collected in various normal to low-light lighting conditions with slow to aggressive motion profiles.

NOTE: Since groundtruth is not available indoors, we returned the sensorplatform to the initial location and evaluate the start-end error.

## 文献阅读 4

Some interesting facts about Paper:

### **Towards High-Performance **Solid-State-LiDAR**-Inertial Odometry and Mapping**

of KIT, arXiv:2010.13150:

A novel tightly-coupled LiDAR-inertial odometry and mapping scheme for both **solid-state** and mechanical LiDARs. As frontend, a feature-based **lightweight LiDAR** odometry provides fast motion estimates for adaptive keyframe selection. As backend, a hierarchical keyframe-based sliding window optimization is performed through marginalization for directly fusing IMU and LiDAR measurements.

#### 1. Why do this?

① : Very recently, solid-state LiDARs have hit the consumer market based on various working principles with much better affordability, but **solid-state-LiDAR-based odometry has not been well investigated**.

② : Scan patterns of solid-state LiDARs are always irregular and non-repetitive, so that common feature extraction methods for conventional 3D LiDARs are not applicable.

固态雷达质量好，价格较机械雷达低，精度较高（点云更稠密），但其视野较窄，且不同版本的固态雷达扫描方式不同，难有统一的处理方法。

#### 2. How to do it?

① : we propose a novel tightly-coupled LiDAR-inertial odometry and mapping scheme with a specific variant for solid-state LiDARs .

② : A novel feature extraction approach is tailored to the irregular scan pattern of the Livox Horizon.

- ③ : To directly fuse LiDAR and IMU measurements in a unified manner, a hierarchical keyframe-based fusion scheme is proposed using sliding window optimization.
- ④ : The proposed system is generically applicable for both conventional and the deployed solid-state LiDARs. It runs in real time and delivers superior odometry and mapping accuracy over related state-of-the-art systems .
- ⑤ : We publish the new solid-state-LiDAR-inertial data sets recorded by Livox Horizon and Xsens MTi-670.

重点关注②和③

### 3. Pipeline

